

すべり軸受油膜温度上昇の修正断熱解析 (第3編)

朝 鍋 定 生* ・ 浦 晟*
 川 添 強* ・ 森 高 秀四郎*
 福 富 正 稔** ・ 渡 辺 真太郎***

Modified Adiabatic Solution of Temperature Rise in Sliding Bearing Oil Film

by

Sadao ASANABE, Akira URA*, Tsuyoshi KAWAZOE*, Hideshirou MORITAKA*
 Masatoshi FUKUTOMI**, and Shintarou WATANABE***

1. 緒 言

先の研究^{1),2)}では高速高荷重すべり軸受の温度上昇について実験し、油膜の平均代表粘度を用いた Isothermal Solution の結果と対比して、軸受寸法・潤滑条件・使用条件の外的因子のみによる Explicit な指数表示による軸受温度上昇予測を提示した。本研究ではさらに厳密にレイノルズの潤滑方程式とエネルギー方程式を連立させ、短幅軸受に特有の近似簡略化をほどこして、軸受面内の圧力分布や温度分布を場所の関数として求める解析を実施し、若干の修正を加えて物理的に意味のある、従来より精度の高い軸受温度上昇推定が可能になった。

2. 理論的解析

2.1 レイノルズの潤滑方程式と圧力に関する境界条件

図1に示すような短幅軸受において、座標 x 方向および z 方向の油膜流量は次式であらわされる。

$$\left. \begin{aligned} u &= \frac{1}{2\mu} \cdot \frac{\partial p}{\partial x} y(y-h) + \frac{h-y}{h} U \\ w &= \frac{1}{2\mu} \cdot \frac{\partial p}{\partial z} y(y-h) \end{aligned} \right\} \quad (1)$$

ただし、 μ は油膜の粘度、 y は油膜厚さ方向の座標、 U は軸表面周速度である。したがって、単位幅当た

りの x 方向および z 方向の油膜流量は次のようになる。

$$\left. \begin{aligned} qx &= \int_0^h u dy = -\frac{h^3}{12\mu} \cdot \frac{\partial p}{\partial x} + \frac{Uh}{2} \\ qz &= \int_0^h w dy = -\frac{h^3}{12\mu} \cdot \frac{\partial p}{\partial z} \end{aligned} \right\} \quad (2)$$

静荷重有限幅軸受に対するレイノルズの基礎方程式は次式で与えられる。

$$\frac{\partial}{\partial x} \cdot \left(\frac{h^3}{\mu} \cdot \frac{\partial p}{\partial x} \right) + \frac{\partial}{\partial z} \cdot \left(\frac{h^3}{\mu} \cdot \frac{\partial p}{\partial z} \right) = 6U \frac{\partial h}{\partial x} \quad (3)$$

$L/D \ll 1$ の短幅軸受においては一般的に油膜圧力は円周方向より軸方向が急峻として上式の第1項を無視することが多いが³⁾、ここでは次の研究で片当りの影響を論じるので両項ともに考慮しておくことにする。さらに、軸受面内での温度分布をも考慮するので粘度 μ は座標 x および z の場所によって異なるものになる。

油膜圧力の境界条件は図2に示すように、油みぞ境界で給油圧力に等しく、軸受端および負圧域では0、最大すきま位置では軸方向に直線的に圧力降下すると仮定する。すなわち、

$$p = 0 \quad \text{at } z = 0 \quad \text{and when } p < 0$$

2001年9月10日受理

*長崎大学

**三菱エンジニアリング(株)

***三菱重工業(株)

2.5 数値解析方法

以上の偏微分方程式の計算は解析的に解くことができず、微分方程式は差分にかえて電子計算機を用いて計算した。大略の流れを図4のフローチャートにしたがって説明する。まず最初に軸受諸元 (D, L_0, c) と姿勢 (偏心率 n) をあたえる。レイノルズ式による圧力分布の計算にあたって、粘度ははじめ給油温度相当の粘度 T_f を与え、加速定数を用いた逐次計算で収斂をはかる。つぎに、求められた圧力分布を用いてエネルギー式による温度分布計算をおこなう。この際、粘度分布については逐次求められた温度分布相当の粘度で置換してゆく。こうして収斂した粘度分布を用いて再び圧力分布、温度分布の収斂計算に戻る。このような過程をくり返し、圧力分布、温度分布がお互いに必要精度範囲内に収斂しあつたあと、必要な軸受特性計算を実施する。

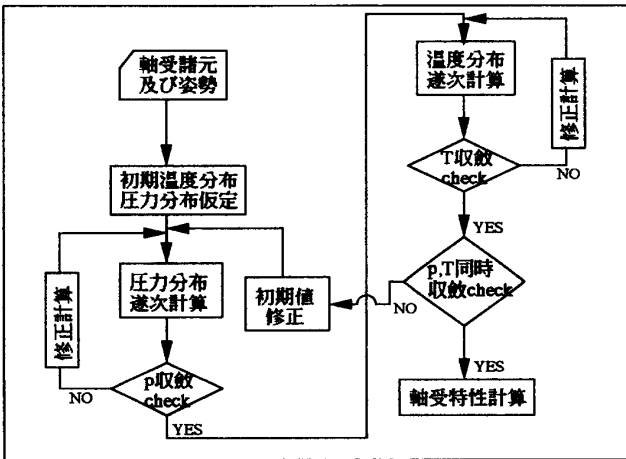


図4 計算フローチャート

3. 計算結果

計算結果を表示するのに便利なくつかの無次元数を用いる。

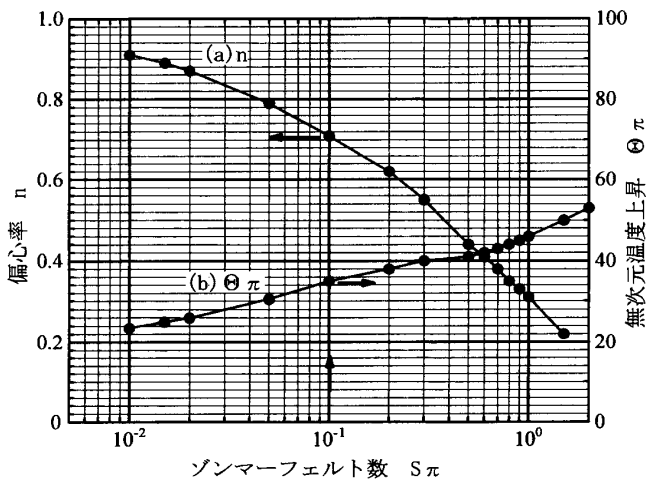


図5 偏心率 n (a), 無次元温度上昇率 $\Theta \pi$ (b)とゾンマーフェルト数 $S \pi$ の関係

3.1 最小油膜厚さ h_{min} は偏心率 n により, $h_{min} = \frac{c}{2}(1-n)$ なる関係で求められるが、このベースとなる偏心率 n は次式の最小油膜厚さ位置 $\theta = \pi$ における温度 T_π 相当の粘度を用いたゾンマーフェルト数 $S \pi$ とのあいだに図5(a)のような関係にある。

$$S \pi = \left(\frac{D}{c}\right)^2 \frac{\mu_\pi N D (L_t - L_g)}{W} \quad (12)$$

3.2 軸受温度

無次元温度上昇 $\Theta \pi$ を次式で定義し、 $\Theta \pi$ とゾンマーフェルト数 $S \pi$ との関係を図5(b)に示す。

$$\Theta \pi = \frac{1}{A} \sigma g c_0 (T_\pi - T_f) \frac{D(L_t - L_g)}{W} \quad (13)$$

3.3 軸受油量

無偏心軸受における油量は次式で表される。ただし粘度に μ_π を用いる。

$$Q_0 = \frac{\pi D p_f c^3}{24 \mu_\pi (L_t - L_g)} \quad (14)$$

$$Q_0 = \frac{Q}{Q_0}$$

(14)式で定義した $Q \pi$ とゾンマーフェルト数 $S \pi$ との関係を図6に示す。

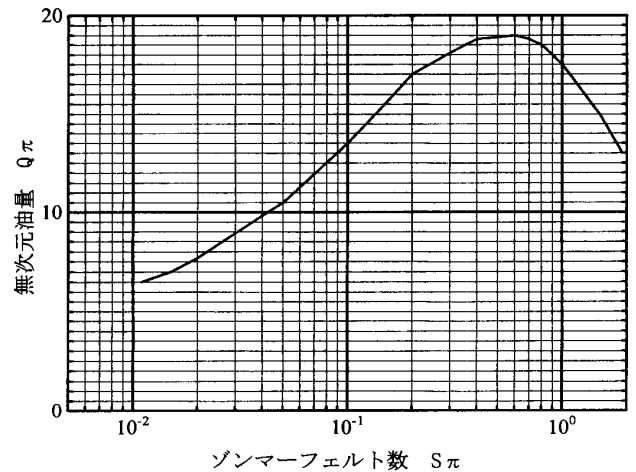


図6 無偏心油量 $Q \pi$ とゾンマーフェルト数 $S \pi$ との関係

4. 実験

4.1 実験装置

軸受試験機は基本的には従来の研究に使用したものと同じであるが、試験部分を図7のように両もちに変更した。

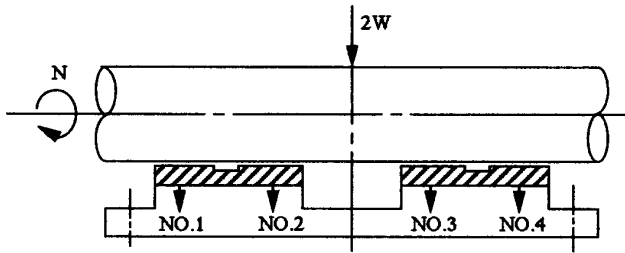


図7 試験部分と軸受温度計測点

4.2 実験条件

供試軸受は直径 $D=70\text{mm}$ 、全幅 $L_t=25\text{mm}$ 、油みぞ幅 $L_g=5\text{mm}$ 、直径すきま $c=0.18\text{mm}$ 、潤滑油は SAE#30 で給油圧力 $p_f=1\text{kg/cm}^2$ 、給油温度 $T_f=37.5^\circ\text{C}$ である。軸は S45C で表面あらさ $R_{\text{max}}=1.0\mu\text{m}$ 、軸受メタルは鉛オーバーレイつき焼結銅鉛合金 (Cu70Pb30) を用いた。運転条件はまず無負荷で回転数 N を 2500rpm から 500rpm ずつ高めて 4500rpm に設定する。その後荷重 $2W$ を 400kg (軸受 1 個あたり $W=200\text{kg}$ 、面圧 $p_b=14\text{kg/cm}^2$ に相当) ずつ高めてゆき、軸受最高温度が 150°C に到達するまで続行した。軸受温度は両軸受の両パッド中央再下面にて合計 4 点で計測した。

4.3 実験結果

荷重に対する軸受温度の計測結果を図 8 に示すが 4 点の温度は 10°C 程度のばらつきにあり、実験後の表面写真 (写真 1) から片当りなどの影響による誤差は少ないことがわかる。また、片当りや潤滑油への異物混入などの弊害が無ければ、大方の目安として本条件程度の軸受では面圧 $p_b=250\text{kg/cm}^2$ までは安全に作動しうることがわかる。

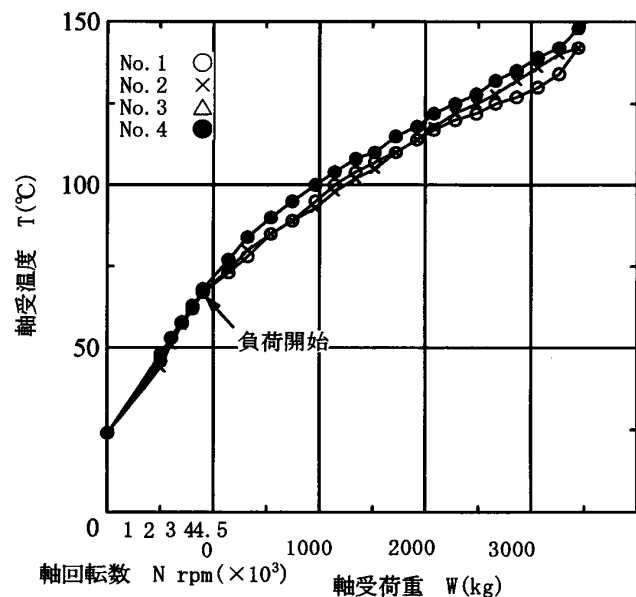


図8 軸受温度計測結果

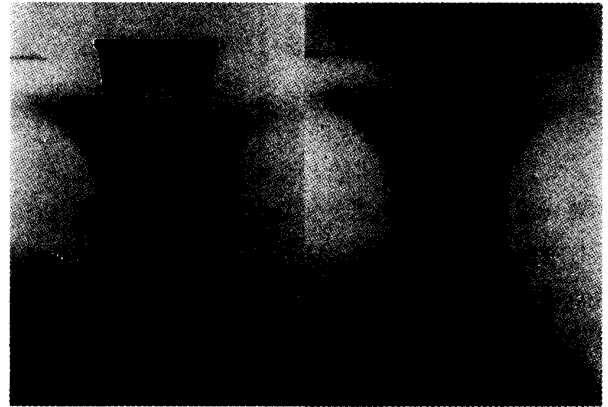


Photo 1 片当り軸受試験後の摩擦表面

5. 実験結果と断熱解析結果の吟味, 修正

軸受温度上昇については先の研究^{1,2)} においてつぎの指数表示近似式を求めているが理論の修正にかならずしも物理的な意味が伴っていない不十分さが残っていた。

$$\Delta T = 6 \times 10^{-3} \frac{D^{1.0} W^{0.45} N^{1.04} \mu_f^{0.46}}{c^{0.42} L_0^{0.12} p_f^{0.15}} \quad (15)$$

本式を用いた実験条件での計算結果を図 9 の温度上昇実測値中に実線で示すが、当然ながら良い一致を与えている。図 9 の実測値 (○, ●) とは図 8 の計測結果の内側パッド (No. 2, 3) の軸受温度から給油温度を差し引いた値である。

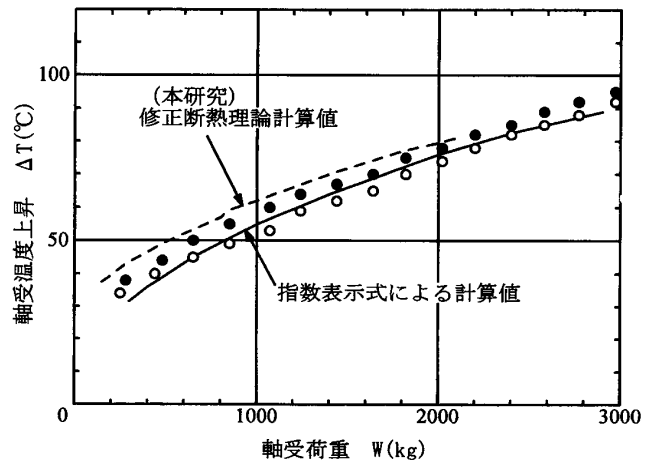


図9 軸受温度上昇の計算, 実験結果の比較

さて、これまでの実験結果からわかるように、無負荷高速回転すなわち無偏心状態では軸受温度が給油温度と同じで温度上昇は無いのかということそれは間違いである。理論計算にはこのことが無視されている。そこで、無偏心状態での Petroff's Friction による温度上昇分を計算すると以下ようになる。

$$\text{損失馬力 } H = 2\pi^3 \frac{D^3 N^2 L_0 \mu_f}{c} = 0.1 \text{ PS} \quad (16)$$

$$\text{油量 } Q = \frac{\rho_f \pi D_c^3}{96 \mu_f L_0} = 1.2 \text{ cc/s} \quad (17)$$

$$\text{温度上昇 } \Delta T_0 = 0.175 \frac{H}{\gamma c_0 Q} = 32^\circ\text{C} \quad (18)$$

$$\text{軸受温度 } T = T_f + \Delta T_0 = 37.5 + 32 \approx 70^\circ\text{C} \quad (19)$$

すなわち、給油温度40℃に対して約32℃の軸受温度上昇分を水増しせねばならない。

つぎに、断熱条件下で試算してみると意外に大きな温度上昇になることが判明した。周囲への熱放散が全く無いと仮定したものの、Vogelpohl^{4),5)}によれば発生熱のうち油に持ち去られる熱量の割合は以下のようなになる。

$$\text{すべり面/すきま比 } X = \frac{x}{h} = \frac{2\pi D}{c} = 2,400,$$

$$\text{ペクレ数 } Pe = \frac{Uh}{a} = 16,400$$

ただし、周速 $U = 5.4 \times 10^4 \text{ m/hr}$ 、すきま $h = c/2 = 0.91 \times 10^{-4} \text{ m}$ 、温度伝導率 $a = 3 \times 10^{-4} \text{ m}^2/\text{hr}$ 。したがって、 $X/Pe = 0.15$ より油への熱量/全熱量 = 1/3となる。

さきに示した断熱解析結果の図5(a),(b)を本実験条件でのわかりやすい有次元の軸受荷重 W から偏心率 n を介して軸受温度 T_π を求める線図を図10(a),(b)にまとめた。

図10を用いて断熱解析での軸受温度 T_π を求め、Vogelpohlの熱伝達量配分率およびPetroff摩擦による水増しを考慮した修正計算結果を表1に示し、その結果を前掲図9中に点線で示した。この結果は指数表

示式より若干高め値を示すものの全体的には良好な一致を示し、とくに高荷重域では安全サイドの設計指標をあたえることができる。

表1 軸受温度修正計算結果

W	n_0	T_π	ΔT_π	$\Delta T_\pi/3$	ΔT	T_b	$\Delta T_\pi = T_\pi - T_f$
140	0.62	61	21	7	39	77	
280	0.78	78	38	13	45	83	
420	0.84	90	50	17	49	87	
560	0.88	100	60	20	52	90	
840	0.93	120	80	27	59	97	
1000	0.95	130	90	30	62	102	

6. 結言

レイノルズの潤滑方程式とエネルギー方程式を連立させ、摩擦熱が油膜の温度上昇のみに消費されるという断熱条件下での解析をベースに、Petroffの無偏心摩擦による温度上昇増分、Vogelpohlの熱伝達量配分などを考慮した修正計算を実施した結果、物理的に意味のある、高精度の軸受温度上昇予測計算が可能となり、有意義かつ安全サイドの設計指標を与えることができた。

参考文献

- 1) 朝鍋, 森高ほか 長崎大学工学部 研究報告 第30巻 第55号 p.145 (1999.7)
- 2) 朝鍋, 森高ほか 長崎大学工学部 研究報告 第31巻 第56号 p.23 (2000.1)
- 3) DuBois & Ocvirk NACA Report 1157 (1953)
- 4) Vogelpohl VDI-Forschungsheft 425 (1949)
- 5) 潤滑学会編纂1975版 潤滑ハンドブック2.2.9 p.152~156, 5.22 p.553~555

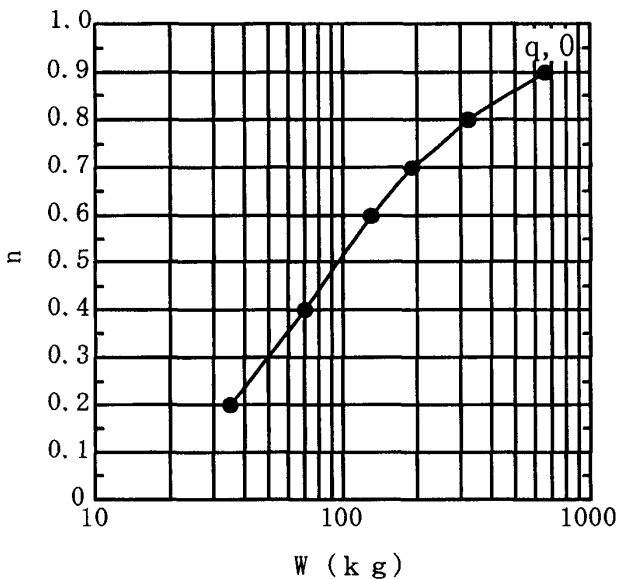


図10 (a) $W \sim n$

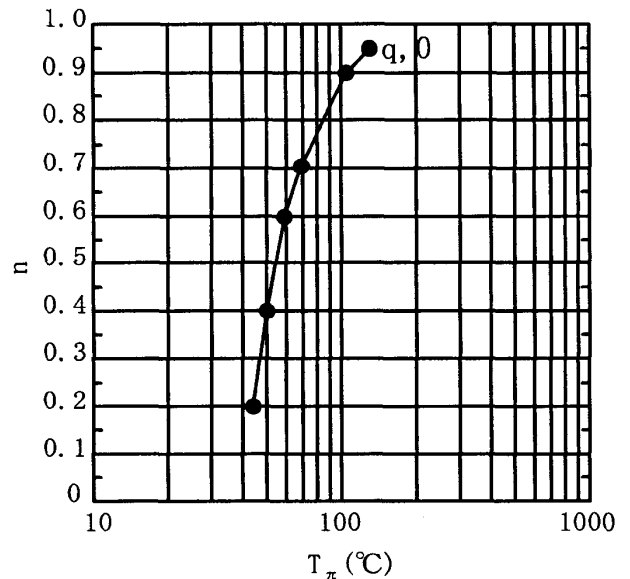


図10 (b) $n \sim T_\pi$